

ارزیابی و توسعه مدل ریزمکانیکی ماتریس واسطه با استفاده از آزمونهای مشخصه‌سازی خواص مکانیکی مواد کامپوزیتی

Evaluation and Development of Bridging Micromechanics Model Using
Mechanical Properties of Composite Materials Characterization Tests

محمود ذبیح پور^{*}، سعید ادیب نظری، علی عابدیان

تهران، دانشگاه صنعتی شریف، دانشکده مهندسی هوافضا، صندوق پستی ۱۱۳۶۵/۸۶۳۹

دریافت: ۸۳/۱۰/۲۹، پذیرش: ۸۴/۶/۱

چکیده

برای اجتناب از لزوم انجام آزمونهای پرهزینه و زمانبر برای تعیین خواص مکانیکی مواد کامپوزیتی، استفاده از مدل‌های ریزمکانیکی را محل مناسبی است. مدل‌های ریزمکانیکی متعددی برای پیش‌بینی خواص ارائه شده‌اند. در این مقاله یکی از جدیدترین آنها یعنی مدل ماتریس واسطه، بررسی شده است. برای تعیین خواص مکانیکی از طریق این مدل، تنها اطلاع از خواص مکانیکی مواد تشکیل‌دهنده و درصد حجمی الیاف کافی است. اما، برای حصول به پیش‌بینی دقیق‌تر، خواص مکانیکی مواد تشکیل‌دهنده از طریق فرایند بازیابی و تعدادی آزمایش خواص مکانیکی ماده کامپوزیتی حاصل می‌شود. اگرچه تعداد این آزمایشها در مقایسه با تعداد کل آزمایش‌های مشخصه‌سازی اندک است، اما همچنان وابسته به آن است. این وابستگی از آن جا ناشی می‌شود که لازم است خواص اتصال ماتریس - الیاف حاصل به شکل تصحیح خواص ماتریس در روابط مدل وارد شود. در این پژوهش نشان داده شد که با این فرایند حداقل تعداد آزمایش برای تصحیح خواص مواد تشکیل‌دهنده یک آزمایش عرضی ماده کامپوزیتی است. همچنین، با ارائه روابطی برای اجزای ماتریس واسطه، مدلی برای تعیین استحکام با در نظر گرفتن اثر عدم وجود اتصال کامل ارائه شده است. مقادیر حاصل کاهش قابل توجهی در اختلاف نتایج را نشان می‌دهند. به این ترتیب می‌توان تعداد آزمایش‌های مشخصه‌سازی مورد لزوم را کاهش داد.

واژه‌های کلیدی

اتصال الیاف - ماتریس،
مواد کامپوزیتی، خواص مکانیکی،
مدل ریزمکانیکی ماتریس واسطه،
آزمونهای مشخصه‌سازی

مقدمه

استحکام مواد کامپوزیتی تک جهته ارائه شده است [۱،۲]. مدل ماتریس واسطه جدیدترین مدل برای تعیین خواص مکانیکی کامپوزیتی است. از مزایای این مدل می‌توان به در نظر گرفتن رفتار پلاستیک ماتریس در کامپوزیتیها اشاره کرد. بنابراین، رفتار غیر خطی تاکنون مدل‌های ریزمکانیکی متعددی برای پیش‌بینی خواص کشسان مواد کامپوزیتی پیشنهاد شده است. از آن جمله می‌توان به روش‌های اختلاط، اختلاط اصلاح شده و مدل ماتریس واسطه (bridging model) اشاره کرد [۲]. اما، بندرت مدلی برای پیشگویی مقادیر

Key Words

fiber/matrix interface,
composite materials, mechanical prop-
erties, bridging micromechanics model,
characterization tests

که در آن $[S]$ از معادله زیر تعریف می شود:

$$\{d\sigma\} = [S] \{\delta\epsilon\} \quad (7)$$

در حالت کلی، ماتریس $[A]$ به شکل زیر است:

$$A = \begin{bmatrix} a_{11} & a_{12} & a_{13} & a_{14} & a_{15} & a_{16} \\ \cdot & a_{22} & a_{23} & a_{24} & a_{25} & a_{26} \\ \cdot & \cdot & a_{33} & a_{34} & a_{35} & a_{36} \\ \cdot & \cdot & \cdot & a_{44} & a_{45} & a_{46} \\ \cdot & \cdot & \cdot & \cdot & a_{55} & a_{56} \\ \cdot & \cdot & \cdot & \cdot & \cdot & a_{66} \end{bmatrix} \quad (8)$$

در مواد کامپوزیتی با خاصیت همسانگرد عرضی ۵ عضو قطری این ماتریس مستقل هستند [۹]. اعضای ماتریس واسطه با جایگزینی معادله (۸) در (۶) و توجه به این نکته که ماتریس نهایی $[S]$ باید متقارن باشد، یعنی $S_{ij} = S_{ji}$ و $i, j = 1, 2, \dots, 6$ بحسب می داشت. انجام این مراحل پانزده معادله غیرخطی را در کلی ترین حالت نتیجه می دهد. از حل این معادله ها، مقادیر اعضای غیرقطري ماتریس $[A]$ معین می شود. همچنین، برای رفتار غیرخطی ماتریس خواهیم داشت [۱۰].

$$E_m = \begin{cases} E^m & \text{for } \tau^m \leq \frac{\sqrt{2}}{3} \sigma_y^m \\ E_T^m & \text{for } \tau^m > \frac{\sqrt{2}}{3} \sigma_y^m \end{cases} \quad (9)$$

$$G_m = \begin{cases} \frac{E^m}{2(1+v^m)} & \text{for } \tau^m \leq \frac{\sqrt{2}}{3} \sigma_y^m \\ \frac{E_T^m}{3} & \text{for } \tau^m > \frac{\sqrt{2}}{3} \sigma_y^m \end{cases} \quad (10)$$

برای حالت بارهای صفحه ای، اعضای ماتریس به شکل زیر نوشته می شود:

$$\begin{bmatrix} d\sigma_{11}^m \\ d\sigma_{22}^m \\ d\sigma_{12}^m \end{bmatrix} = \begin{bmatrix} a_{11} & a_{12} & a_{16} \\ \cdot & a_{22} & a_{26} \\ \cdot & \cdot & a_{66} \end{bmatrix} \begin{bmatrix} d\sigma_{11}^f \\ d\sigma_{22}^f \\ d\sigma_{12}^f \end{bmatrix} \quad (11)$$

$$\begin{bmatrix} d\sigma_{11}^f \\ d\sigma_{22}^f \\ d\sigma_{12}^f \end{bmatrix} = \begin{bmatrix} b_{11} & b_{12} & b_{16} \\ \cdot & b_{22} & b_{26} \\ \cdot & \cdot & b_{66} \end{bmatrix} \begin{bmatrix} d\sigma_{11} \\ d\sigma_{22} \\ d\sigma_{12} \end{bmatrix} \quad (12)$$

ماتریس در تعیین خواص کامپوزیتها لحاظ می شود [۳-۷]. یکی از مهمترین دلائل توسعه مدل های ریز-مکانیکی، گریز از لزوم انجام آزمایش های فراوان، نسبتاً دشوار و هزینه بر به منظور مشخصه سازی مواد کامپوزیتی است. انجام این آزمونها از یک طرف با محدودیت سازوکارهای ساده دستگاه های آزمایش و از طرف دیگر با الزام رعایت استانداردهای معتبر مواجه است. با انجام سه دسته آزمونهای کشش، فشار و برش داخل صفحه ای خواص کشسان و استحکام ماده کامپوزیتی در راستاهای پایه بدست می آید.

اصول نظری

مدل ریز-مکانیکی ماتریس واسطه

به کمک مدل ماتریس واسطه ابتدا تنشهای داخلی ایجاد شده در الیاف و ماتریس معین می شود، سپس معیارهای شکست روی این میدانهای تنش اعمال می شود. معیار گسیختگی حد اکثر تنش اصلی مواد همسانگرد (isotropic) برای کامپوزیت به شکل اصلاح شده بکار گرفته شده است [۸,۹].

محاسبه میدان تنش در مواد تشکیل دهنده

در الیاف به فرض همسانگرد عرضی، رفتار کشسان خطی در نظر گرفته می شود. رابطه تنش و کرنش الیاف عبارت است از:

$$\{\delta\epsilon^f\} = [S^f]\{d\sigma^f\} \quad (1)$$

اگر برای ماتریس رفتار همسانگرد و کشسان - پلاستیک فرض شود:

$$\{\delta\epsilon^m\} = [S^m]\{d\sigma^m\} \quad (2)$$

اکنون با ارائه رابطه اصلی مدل با معادله (۳) ماتریس واسطه $[A]$ تعریف می شود:

$$\{d\sigma^m\} = [A]\{d\sigma^f\} \quad (3)$$

با جایگزینی این معادله در معادله های توزیع تنش، تنشهای ایجاد شده در الیاف و ماتریس بر اساس تنشهای اعمالی بدست می آید:

$$\{d\sigma^f\} = (V_f[I] + V_m[A])^{-1}\{d\sigma\} \quad (4)$$

$$\{d\sigma^m\} = [A](V_f[I] + V_m[A])^{-1}\{d\sigma\} \quad (5)$$

$$[S] = (V_f[S^f] + V_m[S^m][A])(V_f[I] + V_m[A])^{-1} \quad (6)$$

$$E_{11} = (V_f + V_m a_{11}) / (V_f s_{11}^f + V_m a_{11} s_{11}^m) \quad (26)$$

$$E_{22} = \frac{(V_f + V_m a_{11})(V_f + V_m a_{22})}{(V_f + V_m a_{11})(V_f s_{22}^f + a_{22} V_m s_{22}^m) + V_f V_m (s_{22}^m - s_{22}^f) a_{12}} \quad (27)$$

$$G_{12} = (V_f + V_m a_{12}) / (V_f / G_{12}^f + V_m a_{12} / G_{12}^m) \quad (28)$$

با جایگذاری معادله (۱۲) در (۱۱) معادله (۱۳) بدست می آید:

$$\begin{Bmatrix} d\sigma_{11}^m \\ d\sigma_{22}^m \\ d\sigma_{12}^m \end{Bmatrix} = \begin{Bmatrix} a_{11} & a_{12} & a_{16} \\ a_{21} & a_{22} & a_{26} \\ a_{16} & a_{26} & a_{66} \end{Bmatrix} \begin{Bmatrix} b_{11} & b_{12} & b_{16} \\ b_{21} & b_{22} & b_{26} \\ b_{16} & b_{26} & b_{66} \end{Bmatrix} \begin{Bmatrix} d\sigma_{11} \\ d\sigma_{22} \\ d\sigma_{12} \end{Bmatrix} \quad (13)$$

که در این معادله:

$$a_{11} = \frac{E_m}{E_{11}^f} \quad (14)$$

$$a_{22} = 0.5 \left(1 + \frac{E_m}{E_{22}^f} \right) \quad (15)$$

$$a_{33} = 0.5 \left(1 + \frac{G_m}{G_{12}^f} \right) \quad (16)$$

$$a_{12} = (s_{12}^f - s_{12}^m) (a_{11} - a_{22}) / (s_{11}^f - s_{11}^m) \quad (17)$$

$$a_{16} = \frac{d_{21} \beta_{11} - d_{11} \beta_{21}}{\beta_{11} \beta_{22} - \beta_{12} \beta_{21}} \quad (18)$$

$$a_{26} = \frac{d_{12} \beta_{22} - d_{22} \beta_{12}}{\beta_{11} \beta_{22} - \beta_{12} \beta_{21}} \quad (19)$$

$$d_1 = (s_{16}^m - s_{16}^f) (a_{11} - a_{66}) \quad (20)$$

$$d_2 = (s_{26}^m - s_{26}^f) (V_f + V_m a_{11}) (a_{22} - a_{66}) + (s_{16}^m - s_{16}^f) (V_f + V_m a_{12}) a_{12} \quad (21)$$

$$\beta_{11} = s_{12}^m - s_{12}^f \quad (22)$$

$$\beta_{12} = s_{11}^m - s_{11}^f \quad (23)$$

$$\beta_{22} = (V_f + V_m a_{22}) (s_{12}^m - s_{12}^f) \quad (24)$$

$$\beta_{21} = V_m (s_{12}^f - s_{12}^m) a_{12} - (V_f + V_m a_{11}) (s_{22}^f - s_{22}^m) \quad (25)$$

تجربی

مواد

مدل ماتریس واسطه بر این اساس تدوین شده است که با مشخص بودن خواص کشسان و استحکام مواد تشکیل دهنده ماده کامپوزیتی و درصد حجمی الیاف، بتوان استحکام و خواص کشسان ماده کامپوزیتی حاصل

با قرار دادن ماتریسهای $[S]^f$ و $[A]$ در معادله (۶)، ماتریس $[S]^m$ محاسبه می شود. بنابراین، خواص کشسان ماده کامپوزیتی بر حسب خواص مواد تشکیل دهنده آن قابل حصول است.

آزمون کشش

این آزمون بر مبنای استاندارد M ۳۰۳۹۷۳۰۳۹۷ ASTM D ۳۰۳۹ انجام شده است [۱۱]. انتخاب ابعاد و اندازه نمونه ها، سرعت انجام آزمایش، فشار فکهای دستگاه روی قطعه، تنظیم راستای قطعه با امتداد اعمال نیروی دستگاه و کنترل عدم ایجاد خمش در قطعه از عوامل مهم اجرای این آزمون است.

آزمون برش داخل صفحه ای

به دلیل وجود سازو کار عمومی اعمال نیرو در اکثر دستگاه های آزمایش کشش و فشار برای تعیین خواص برش صفحه ای مواد کامپوزیتی ضروری است، بسته (fixture) برای استفاده از سازو کار ذکر شده به وضعیت برشی طراحی شوند. آزمایش مطابق با استاندارد ASTM D ۴۲۵۵ انجام شد [۱۲]. مدول برشی (G₁₂)، استحکام برشی و کرنش برشی حداکثر خواصی هستند که از نتایج پردازش شده این آزمایش حاصل می شوند. نحوه نصب قطعه درون بسته، دقت در نصب Extensometer روی قطعه، روش بستن پیچه های بسته و تراز راستای دستگاه از موارد مهم و قابل توجه در انجام این آزمایش است. برای مشخص کردن کسر حجمی الیاف در ماده کامپوزیتی، روش استاندارد سوزاندن استفاده شد [۱۳] که مقدار آن در قطعات آزمایشی $V_f = 0/5$ بدست آمده است. نتایج حاصل از آزمونها در برش داخل صفحه ای و کشش (در جهت های ۰ و ۹۰ در جدول ۱ آورده شده است.

نتایج و بحث

بررسی مراحل

برای تعیین مقادیر پیش بینی شده خواص در جهت های گفته شده به کمک مدل ریز مکانیکی ماتریس واسطه، یک کد رایانه ای تدوین شد. نتایج

را معین کرد. بدین منظور، برای ارزیابی پیش بینی خواص به کمک این مدل لازم است ابتدا اطلاعات ورودی مدل برای مواد مورد استفاده در آزمونهای مشخصه سازی معین شود. سپس، نتایج خواص از آزمونهای مواد کامپوزیتی با نتایج پیش بینی شده از مدل مقایسه شود. جدول ۱ اطلاعات خواص مکانیکی رزین والیاف بکار رفته را در نمونه های آزمایش ارائه می دهد که در آن الیاف شیشه مورد استفاده از نوع UDE با کد تجاری ۹۲۱۴۵ ساخت شرکت Cs-interglas و رزین مصرفی از نوع اپوکسی L20-SL است. خواص مکانیکی الیاف از اطلاعات فنی شرکت سازنده و خواص مربوط به رزین با انجام آزمونهای کشش و برش ویژه ماتریس بدست آمد، به منظور اختصار مطلب از شرح آنها در این مقاله اجتناب شده است. قطعات آزمایش مواد کامپوزیتی با ترکیب همان سامانه رزین و الیاف، کسر حجمی الیاف $V_f = 0/5$ و به روش لایه گذاری دستی تهیه شدند.

دستگاهها

در این پژوهش، دستگاه اندازه گیری کشش ۸۵۰۲ Servohydraulic Instron و دستگاه اندازه گیرهایی از نوع ۲۶۲۰ Extensometer به همراه اندازه گیرهایی است. این دستگاه را بکار گرفته شد.

روشها

ساخت نمونه ها به روش لایه گذاری دستی انجام شد. در ادامه اجرای آزمونهای مشخصه سازی مواد کامپوزیتی برنامه ریزی شد. این آزمونها بر مبنای استانداردهای ASTM انجام شده است. اجابت نیازمندیها و توجه به توصیه های این استانداردها برای دستیابی به نتایج قابل قبول با پراکندگی اندازه گیری از آزمایش، توصیه های استاندارد می تواند راهگشا باشد. پس از انجام آزمونها، نتایج پردازش و مقادیر مورد قبول (بر اساس وضعیت و امدادگی) در محاسبات آماری لحاظ شد. به این ترتیب مقادیر نهایی خواص معین شد.

جدول ۱ خواص مکانیکی مواد.

E ₁₁ (GPa)	E ₂₂ (GPa)	v ₁₂	G ₁₂ (GPa)	σ_y^m (MPa)	E _T (GPa)	X (MPa)	Y (MPa)	مواد	خواص
۷۳	۷۳	۰/۲۵	۲۹/۲	—	—	۲۴۰۰	—	الیاف	
۲/۹۱	۲/۹۱	۰/۳۵	—	۳۴/۹۰	۲/۰۱	۵۵	—	ماتریس	
۳۷/۹۶	۱۰/۲۶	۰/۲۹	۴/۴۳	—	—	۵۸۹/۷۸	۴۸/۶۸	لایه کامپوزیت (از آزمایش)	
۳۷/۲۲	۸/۸۰	۰/۳	۳/۴۸	—	—	۶۰/۷۱	۵۲/۶۸	لایه کامپوزیت (از مدل ماتریس واسطه)	
—	—	—	—	—	—	۵۸۲/۳	۵۲/۱۸	لایه کامپوزیت (از مدل ماتریس واسطه تصحیح شده)	

خواص کشسان تجربی و نظری اختلاف اندکی دارند. منابع ایجاد این اختلاف را می‌توان به موارد زیر نسبت داد.

فرضیات مدل

در فرضیات مدل در نظر نگرفتن مواردی مانند: کیفیت اتصال، ترتیب و چیدمان الیاف، اثر اندازه و قطر الیاف، معایب ناشی از ساخت (حبابها و حفره‌ها در ماتریس) و انحراف زاویه الیاف از مقدار نظری را می‌توان علت ایجاد اختلاف مقادیر تجربی و نظری دانست.

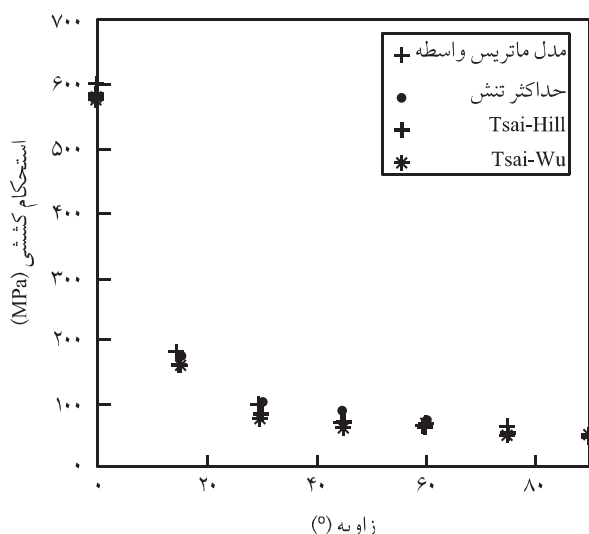
پراکندگی و خطاطر اندازه‌گیریها و محاسبات

منظور پراکندگی و خطاطر در پردازش و تعیین مدولها و تعیین تجربی در صد حجمی الیاف از روش سوزاندن است. در ادامه از موارد گفته شده منابع ایجاد خطاطر در بخش تجربی را کنار گذاشته و روی فرضیات مدل بحث می‌شود. روابطی که برای خواص کشسان ماده کامپوزیتی بر اساس مدل ریزمکانیکی ماتریس واسطه بدست آمده‌اند در بخش‌های قبلی ارائه شده‌اند (معادله‌های (۲۶) تا (۲۸)). برای در نظر گرفتن آثار مورد یاد شده، اجزای مستقل ماتریس واسطه به شکل زیر تعریف می‌شود:

$$a_{11} = (1 - K_1) + (K_1) E_m / E_{11}^f \quad (33)$$

$$a_{22} = K_2 + (1 - K_2) E_m / E_{22}^f \quad (34)$$

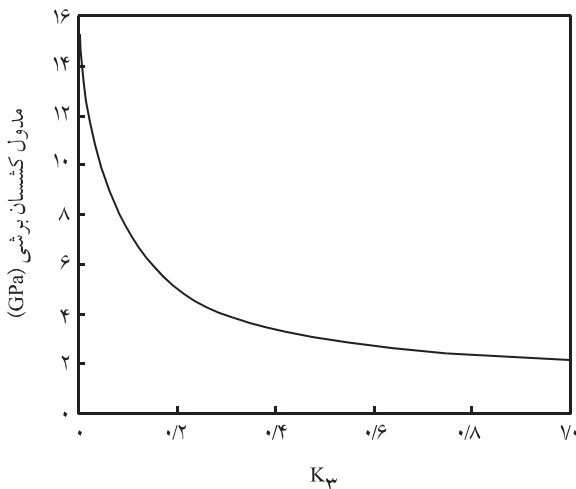
$$a_{66} = K_3 + (1 - K_3) G_m / G_{12}^f \quad (35)$$



شکل ۱ استحکام کشسانی لایه در زوایای مختلف الیاف (محاسبات مدل و معیارهای ریزمکانیک).

مریوط به خواص و استحکام ماده کامپوزیتی در جدول ۱ آمده است. مقادیر استحکام بر حسب زوایای مختلف الیاف با اعمال روابط مدل و با تصمیح استحکام ماتریس (که در ادامه توضیح داده می‌شود) محاسبه و در شکل ۱ ترسیم شد. برای مقایسه، متناظر با همان زوایا مقادیر استحکام محاسبه شده از آزمونهای مشخصه سازی و معیارهای متدالوی ریزمکانیک در شکل ۱ ارائه شده است. با بررسی مقادیر جدول ۱ مشاهده می‌شود که اختلاف در خواص کشسان نسبتاً اندک، اما در مقادیر استحکام زیاد است. آنچه می‌توان در مورد اختلاف زیاد مقادیر پیش‌بینی شده و اندازه‌گیری شده استحکام بیان کرد، این است که در مدل ماتریس واسطه، فرض اتصال کامل (perfect bonding) بین ماتریس و الیاف در نظر گرفته می‌شود. در حالی که مشخص است اتصال کامل، اتصالی ایده‌آل است. افزون بر این، استحکام اتصال نیز به عنوان یکی از خواص، نقش تعیین‌کننده‌ای در استحکام ماده کامپوزیتی دارد. این مسئله در مدل مورد بحث لحاظ نشده است. اما، اگر بتوان کیفیت و استحکام اتصال را در مدل وارد کرد در این حالت بطور قطعی اختلاف مقادیر جدول ۱ کمتر خواهد شد (مثلاً با تصمیح استحکام ماتریس). به این منظور، ابتدا بر اساس فرایند بازیابی از نتایج آزمونهای مشخصه سازی، مقدار استحکام ماتریس تصمیح شده محاسبه شد. سپس، این مقدار که قاعده‌ای کوچکتر از استحکام ماتریس خالص است. مجدد به عنوان استحکام ماتریس در روابط مدل ماتریس واسطه و به کمک برنامه رایانه‌ای تدوین شده مورد استفاده قرار گرفت. از آنجا استحکام ماده کامپوزیتی در زوایای مختلف الیاف معین شد. ترتیبهای مختلفی از زوایای الیاف را برای اجرای فرایند بازیابی می‌توان در نظر گرفت، در اینجا راستاهای طولی و عرضی در نظر گرفته شده است. با در نظر گرفتن روش تعیین استحکام عرضی ماده کامپوزیتی و استفاده از مقادیر خواص نمونه جدول ۱ مقدار استحکام ماتریس برابر ۳۲۷/۴۸۹ MPa معین شد. همچنین، از تعیین استحکام طولی نیز مقداری برای ماتریس حاصل شد. مقدار محاسبه شده برابر ۴۷/۶۸ MPa است. در این حالت، متوسط این دو مقدار می‌تواند تقریب مناسبی باشد. بنابراین، مقدار استحکام ماتریس برابر ۴۰/۵۸۵ MPa در نظر گرفته شد. با قرار دادن این مقدار و سایر خواص ماتریس و الیاف در مدل ماتریس واسطه، نتایج حاصل در جدول ۱ بدست آمد. به همین ترتیب با اعمال خواص ماتریس والیاف به معادله (۱) تا (۳۶) می‌توان استحکام لایه را در هر زاویه‌ای از الیاف معین کرد (شکل ۱).

توسعه مدل ماتریس و ارائه مدل تعیین استحکام خواص کشسان
همان‌طور که از نتایج آزمونها و محاسبات مشاهده می‌شود مقادیر

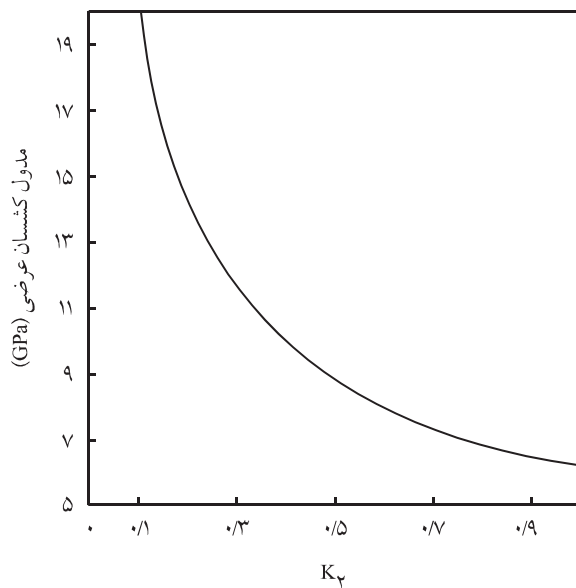


شکل ۳ تغییرات مدول کشسان برشی ماده کامپوزیتی بر حسب مقادیر مختلف K_3 .

فرض کرد به استثناء مقدار K_i^1 (مریبوط به کیفیت اتصال ماتریس به الیاف است) که می‌تواند در اثر بارگذاریهای مختلف (مانند خستگی) تغییرات محسوسی داشته باشد. بنابراین:

$$K_i = \left(K_i^1 + \sum_{j=1}^n K_i^j \right) / n = (K_i^1 + C) / n \quad (37)$$

با اطلاع از تغییرات مدول در اثر بارگذاری می‌توان تغییر K_i و سپس تغییرات K_i^1 را بر حسب بارگذاری معین کرد.

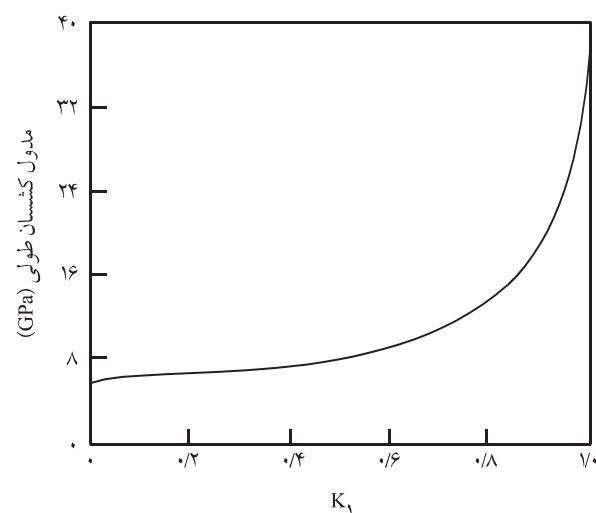


شکل ۴ تغییرات مدول کشسان عرضی ماده کامپوزیتی بر حسب مقادیر مختلف K_2 .

با این تعاریف، $1 = K_i^1$ متناظر با حالت ایده‌آل مدل ماتریس واسطه است. این معادله‌ها طوری تعریف شده‌اند که در حالت یکسان بودن مواد تشکیل‌دهنده ماده کامپوزیتی، ماتریس واسطه به ماتریس واحد تبدیل شود (همان‌طور که در حالت واقعی از آن انتظار نمی‌رود). با جایگذاری این تعاریف در روابط خواص کشسان مدل، این خواص بر حسب K_i بدست می‌آیند. شکل‌های ۲ تا ۴ تغییرات خواص کشسان ماده کامپوزیتی را بر حسب مقادیر مختلف K_i نشان می‌دهد. با اعمال نتایج آزمایشها برای مدل‌های این معادله‌ها (یا نمودارها)، مقادیر K_i متناظر با این خواص برابر $K_1 = 0.998$, $K_2 = 0.373$, $K_3 = 0.245$ بدست می‌آیند که خود بیانگر کاستیهای موجود در نمونه واقعی ماده کامپوزیتی مورداً از مایش است. بطور کلی می‌توان نوشت:

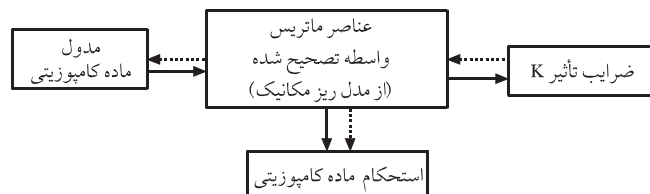
$$K_i = \left(\sum_{j=1}^n K_i^j \right) / n \quad I = 1, 2, 3 \quad (38)$$

در این معادله K_i ضرایب تصحیح برای در نظر گرفتن هر یک از آثار هندسی (موارد گفته شده در بخش فرضیات مدل)، n تعداد وضعیت‌های در نظر گرفته شده، K_i^j ضریب تأثیر کیفیت اتصال ماتریس - الیاف، K_i^1 ضریب معایب ناشی از ساخت در قطعه، K_i^2 ضریب ترتیب و چیدمان الیاف، K_i^3 ضریب اندازه و قطر الیاف و K_i^4 ضریب انحراف زاویه الیاف از مقدار نظری، همچنین $1 \leq K_i^1 \leq 0$ است. هر وضعیت بارگذاری که باعث تغییر مقادیر شود کاهش مدول (سفتی) را در آن جهت‌ها نتیجه خواهد داد. نکته و فایده اساسی در بیان این ضرایب به شکل گفته شده این است که می‌توان تمامی مقادیر را برای یک ماده کامپوزیتی ثابت



شکل ۲ تغییرات مدول کشسان طولی ماده کامپوزیتی بر حسب مقادیر مختلف K_1 .

شده در ردیف انتهایی جدول ۱ بهبود قابل توجهی را در پیش بینی استحکام به کمک این مدل توسعه یافته (با اثر عدم وجود اتصال کامل) نشان می دهد.



شکل ۵ طرح مدل تعیین استحکام ماده کامپوزیت در حالت عدم وجود اتصال کامل.

نتایج بررسی این پژوهش نشان می دهد که مدل ماتریس واسطه خواص مکانیکی ماده کامپوزیتی را با دقت مناسبی پیش بینی می کند. اما، اختلاف در مقادیر استحکام پیش بینی شده و نتایج تجربی نسبتاً زیاد است. این مسأله از آنجا ناشی می شود که استحکام اتصال ماتریس به الیاف در مدل لحاظ نشده است. با استفاده از نتایج آزمونها در روابط مدل ماتریس واسطه، مقدار بازیابی شده استحکام کششی ماتریس (که در آن استحکام اتصال نیز وارد شده است) بدست می آید. بنابراین، تنها در حالتی می توان از ماتریس واسطه بطور مستقیم و بدون نیاز به انجام آزمایش روی ماده کامپوزیتی در جهت‌های مختلف، نوی خاصی از استحکام استحکام اتصال در مدل وارد شود. محاسبات نشان می دهد اختلاف مقادیر پیش بینی شده با نظریه های متفاوت در محدوده وسیعی از تغییرات زاویه الیاف چندان تغییری ندارد (شکل ۱). همچنین، با در داده شده برای تصحیح اجزای ماتریس واسطه، مدلی برای تعیین استحکام با در نظر گرفتن اثر عدم وجود اتصال کامل ارائه می شود. نتایج پیش بینی شده همخوانی بسیار خوبی با مقادیر تجربی دارند. بنابراین، می توان تعداد آزمونهای مشخصه سازی مورد لزوم را کاهش داد. در نهایت باید توجه داشت که در محاسبات مدل از مقادیر خواص مکانیکی، استحکام مواد تشکیل دهنده و کسر حجمی الیاف استفاده می شود. اما، مقادیر این خواص از آزمونهای مکانیکی که به طور ذاتی با پراکندگی در نتایج همراه هستند، تعیین می شوند. بنابراین، بخشنی از اختلاف در مقادیر، ناشی از وجود پراکندگی همیشگی در نتایج تجربی است.

علائم

[A] ماتریس واسطه ، [S] ماتریس مدول ، [dε] ماتریس تغییر تفاضلی میدان کرنش ، [dσ] ماتریس تغییر تفاضلی میدان تنش ، E₁₁ مدول طولی کامپوزیت ، E₂₂ مدول عرضی کامپوزیت ، E_m مدول ماتریس ، G₁₂ مدل برشی صفحه ای ، V_f درصد حجمی الیاف ، V_m درصد حجمی ماتریس ، ۷ ضریب پواسون ، σ_y تنش تسلیم ، τ₀ تنش هشت وجهی (octahedral) ، زیروند m خواص مربوط به ماتریس و زیروند f خواص مورد نظر مربوط به الیاف را نشان می دهد.

استحکام

همان طور که در بخش‌های قبلی نشان داده شد استفاده از مقدار اصلاح شده استحکام ماتریس، به مقدار قابل ملاحظه ای مقادیر استحکام ماده کامپوزیتی را به مقدار واقعی نزدیک می کند. از این رو با مدل فعلی، حداقل یک آزمایش عرضی ماده کامپوزیتی ضروری است تا بتوان مقدار اصلاح شده را برای استحکام ماتریس در فرایند بازیابی بدست آورد. از آنجا که در وضعیه‌های زاویه‌ای مختلف، نوع خاصی از استحکام ماتریس یا ترکیبی از آنها مهم خواهد بود. بنابراین، این تصحیح تقریبی است. اما، با توجه به این که اختلاف مقادیر پیش بینی شده با نظریه‌های متفاوت در محدوده وسیعی از تغییرات زاویه الیاف (از زاویه ۹۰° به صفر) چندان تغییری ندارد (شکل ۱) این اصلاح، تقریب مناسبی است. با در نظر گرفتن محیط سه فازی (الیاف - ماتریس - اتصال) و تعیین میدان تنش و خواص هر یک می توان مدلی جامعتر، دقیق‌تر اما پیچیده‌تری بدست آورد. مدل ارائه شده در این پژوهش همان‌طور که از آزمونهای مشخصه سازی مواد و محاسبات خواص کشسان بدست می آید مقادیر ضرایب K_i شرایطی غیر ایده‌آل را در اتصال الیاف - ماتریس (فاز سوم) ماده کامپوزیتی نشان می دهند. اکنون با مشخص بودن ضرایب K_i آنها در اجزای ماتریس واسطه، استحکام ماده کامپوزیتی معین می شود (شکل ۵). مسیر خط توپر مربوط به حالتی است که مقدار مدول تجربی معلوم باشد. از آنجا مقادیر تصحیح شده ماتریس واسطه و K_i سپس، به کمک این مقادیر در مدل ریز مکانیک، استحکام ماده کامپوزیتی بدست می آید. مسیر خط چین برای وضعیتی است که مقدار K_i از آزمایش‌های آشکارسازی آسیب تعیین شده باشد (با جدایش الیاف از ماتریس) به کمک رابطه ارائه شده در اجزای ماتریس واسطه استحکام و مدول بدست می آید.

نکته حائز اهمیت در حالت اول آن است که مقادیر مدول ماده کامپوزیتی را می توان به وسیله فنون غیر مخبر بدست آورد و از آن جا مقدار استحکام را معین کرد. در حالی که برای بدست آوردن استحکام بطور تجربی تنها می توان آزمایش تخریبی انجام داد. بنابراین، هر تلاشی برای کاستن اهمیت انجام آزمایش‌های مخبر با ارزش است. نتیجه ارائه

مراجع

1. Hyer M.W., *Stress Analysis of Fiber-reinforced Composite Materials*, Boston, WCB, McGraw- Hill, Chap. 3, 1997.
2. Tsai S.W. and Hahn H.T., *Introduction to Composite Materials*, Lancaster, Technomic, Chap. 9, 1980.
3. Chamis C.C., Mechanics of Composite Materials: Past, Present and Future, *J. Comps. Technol. Res.*, **11**, 3-14, 1989.
4. Huang Z.M., Ramakrishna S. and Tay A.O.A., A Micromechanical Approach to the Tensile Strength of Knitted Fabric Composite, *J. Comps. Mater.*, **33**, 1758-1791, 1999.
5. Huang Z.M., Teng X.C. and Ramakrishna S., Bending Behavior of Laminated Knitted Fabric Reinforced Beams, *Adv. Compos. Lett.*, **10**, 211-218, 2001.
6. Huang Z.M., Progressive Flexural Failure Analysis of Laminated Composites with Knitted Fabric Reinforcement, *Mechan. Mater.*, **36**, 239-260, 2001.
7. Huang Z.M., Gopal R., Fujihara K., Ramakrishna S. and Lohpl Foong W.C., Fabrication of a New Composite Orthodontic Arch-wire and Validation by a Bridging Micromechanics Model, *Biomaterials*, **24**, 2941-2953, 2003.
8. Huang Z.M., Micromechanical Strength Formula of Unidirectional Composites, *Mater. Lett.*, **40**, 164-169, 1999.
9. Huang Z.M., A Unified Micromechanical Model for the Mechanical Properties of Two Constituent Materials, Part II: Plastic Behavior, *J. Thermoplast. Compos. Mater.*, **13**, 344-362, 2000.
10. Gates T.S., Chen J.L. and Sun C.T., Micromechanical Characterization of Nonlinear Behavior of Advanced Polymer Matrix Composites, Deo R.B. and Sagff D.R. (Eds.), *Compos. Mater. Test. Design*, **12**, ASTM STP 1274, 295-319, 1996.
11. Standard Test Method for Tensile Properties of Polymer Matrix Composite Materials, Annual Book of ASTM Standards, **15.03**, D 3039/D 3039 M, 1983.
12. Standard Guide for Testing In-Plane Shear Properties of Composite Laminates, Annual Book of ASTM Standards, **15.03**, D4255 1983, Reapproveddm 1994.
13. Standard Test Method for Ignition Loss of Cured Reinforced Resins, Annual Book of ASTM Standards, **8.02**, D2584, 85-86, 1968, Reapproved 1985.